

# РАСЧЕТ ЕМКОСТНОЙ МАТРИЦЫ ПЛАНАРНЫХ ЛИНИЙ

**И. М. Вершинин**

Югорский государственный университет  
г. Ханты-Мансийск

Проектирование и анализ устройств с полосковыми линиями передач в Т-приближении сопровождается определением емкостной матрицы  $C$ , которая находится в результате решения электростатической краевой задачи, удовлетворяющей уравнению Лапласа. При ее решении широко используются метод конформных отображений (КО) [1], сеточный метод (СМ) [2, 3], метод функции Грина, метод Монте-Карло. Усложнение структур линий приводит к потребности комбинации методов с использованием их отдельных достоинств. Ниже, на примере связанных полосковых линий с планарными экранами, показанными на рисунке 1, предложено провести расчет емкости численным СМ с предварительным привлечением аналитических преобразований на основе КО. Непосредственное применение СМ здесь затруднено из-за «открытости» структур и сильной неравномерности электрического поля по сечению (большая концентрация в зазоре), а с другой стороны подобрать КО, приводящее к простому виду формы электрического поля, например, плоскопараллельному, не удастся. КО преобразует структуру к «замкнутому» виду с одновременным «растяжением» зазоров. На втором этапе с помощью СМ определяются погонные плотности зарядов на проводниках с последующим расчетом матрицы  $C$ .

Формулы преобразования для первой группы структур:  $W=F(Z/\omega, k)$ ;  $Z=\omega \cdot sn(W, k)$ , для второй –  $W=F[(Z/\omega)^{0.5}, k]$ ;  $Z=\omega \cdot sn^2(W, k)$ .

Поделим структуру копланарной линии 1 вдоль границы раздела диэлектриков с  $\epsilon_2$  и  $\epsilon_3$  (по оси  $X$ ) на две части и с помощью КО  $W=U+iV=F(Z/\omega, k)$  преобразуем полуплоскости в прямоугольники. «Сшивая» их по линии раздела диэлектриков в зазорах копланарной линии, получим расчетную модель структуры для СМ. В силу симметрии достаточно определить емкость прямоугольника, ограниченного «электрическими» стенками размером  $2K$  и «магнитными» размером  $K'$ .

Выше и на рисунке 1 приняты обозначения:  $F(Z/\omega, k)$  — эллиптический интеграл 1-го рода с модулем  $k = \omega^2/(\omega+\delta)^2$ ;  $K, K'$  — полные эллиптические интегралы;  $k'=1-k$  — дополнительный модуль.

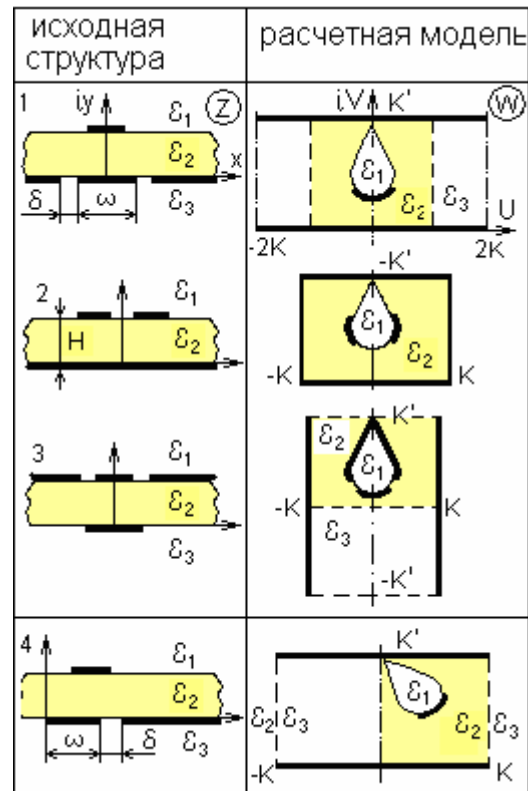


Рисунок 1 – Структуры планарных полосковых линий

При переходе к сеточной модели кривая  $V(U)$  границы раздела диэлектриков с  $\epsilon_1$  и  $\epsilon_2$  заменяется аппроксимирующей ломаной  $I(J)$ . На рис. 2а для  $k = 0,695$  ( $K = 2,07$ ,  $K' = 1,716$ ) показан фрагмент расчетной модели при разной толщине подложки  $H/\omega$ . Поиск  $I(J)$  осуществляется по следующему принципу. Начальный узел  $W_1 = 0 + iK'$ . Для задания направления поиска берется второй узел  $W_2 = h + iK'$  где  $h$  — шаг квадратной сетки. Определение координат последующего  $N+1$  узла реализуется по правилу, представленному схематично на рисунке 2, а, когда значения трех соседних узлов сетки пересчитываются на плоскость  $Z$ , где выбирается узел  $W_{N+1} = Jh + ih$ , лежащий ближе к прямой  $Y = H$ .

Процесс повторяется пока  $I(J)$  не выйдет на ось  $iV$ . Для пересчета координат узлов используется обратное преобразование [4]:

$$Z = \omega \sin(U+iV, k) = \omega \frac{sd_1 + icd_1s_1c_1}{1 - s_1^2 d_1^2} =$$

$$= X(U, V) + iY(U, V),$$

где  $s = \text{sn}(U, k)$ ;  $s_1 = \text{sn}(V, k')$ ;  $c = \text{cn}(U, k)$ ;  $c_1 = \text{cn}(V, k')$ ;  $d = \text{dn}(U, k)$ ;  $d_1 = \text{dn}(V, k')$  – эллиптические функции Якоби.

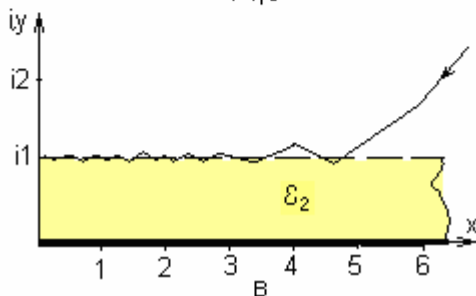
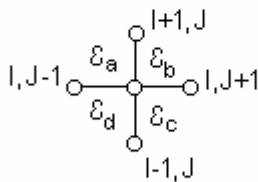
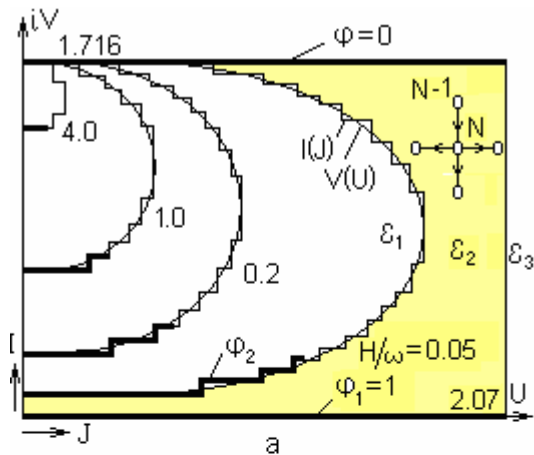


Рисунок - 2. Расчетная сеточная модель копланарной линии

Функции Якоби находятся с помощью ТЭТа-функций, представляемых быстроходящими рядами. Так как в алгоритме поиска координат узлов  $I(J)$  используется информация лишь по относительному расположению трех точек в локальной области плоскости  $W$ , то можно ограничиться двумя членами ряда. Качество аппроксимации для случая  $H/\omega = 1$  дано на рисунке 2, в. При помощи выражения  $X(U, V)$  определяется трансформация размеров верхнего проводника при отображении. Для примера на рисунке 2, а его ширина взята в 2 раза меньше нижнего. Кривую  $V(U)$  находим по выражению интеграла

ла с комплексной амплитудой [4], преобразованному для данного случая:

$$F(Z/\omega, k) = F(\tilde{X} + i\tilde{Y}, k) = F(L, k) + iF(M, k')$$

$$M = (1+E)^{-0.5}; L = (1+P)^{0.5};$$

$$E = B \cdot k / (k'P - B); P = A + \sqrt{A^2 + B};$$

$$A = (\ell^2 k + tk' - \tilde{X}^2 - \tilde{X}^2 k') / 2 \tilde{X}^2;$$

$$B = k'(t - \tilde{X}^2) / \tilde{X}^2; t = R \cdot \sqrt{R^2 + \tilde{X}^2};$$

$$R = (\tilde{X}^2 + \tilde{Y}^2 + 1) / 2.$$

В сеточном аналоге уравнения Лапласа учитывается диэлектрическое окружение узла [2, 3], которое меняется в зависимости от его положения на  $I(J)$ . Так,  $\epsilon_B$  примет значения  $\epsilon_1$  или  $\epsilon_2$  (см. рисунок 2). Ситуации учитываются кодировкой узлов при поиске  $I(J)$  и закладываются в массив размерностью  $K/h$  на  $K'/h$ , что одновременно характеризует и пространственное положение кривой.

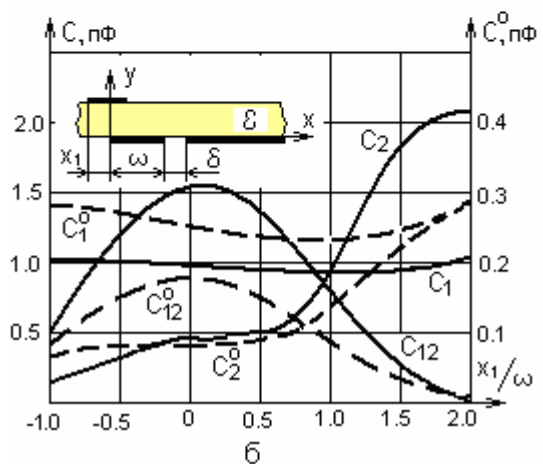
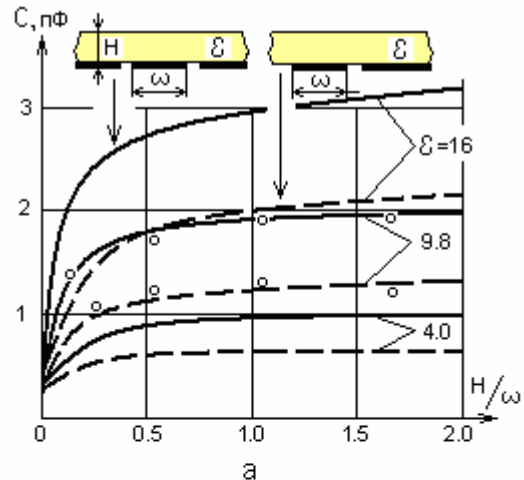


Рисунок 3 – Результаты расчета емкостей: а – одиночных КЛ и НКЛ при отношении зазора к ширине проводника 0,1 в зависимости от толщины подложки  $\epsilon_2 = \epsilon$ ; б – связанных линий при  $\epsilon_2 = 9,8$  и  $\epsilon_2 = 1$  ( $C$  и  $C^0$  соответственно)

При четном возбуждении  $\varphi_1 = 1$  В на нижнем проводнике и  $\varphi_2 = 1$  В на верхнем – заряд первого проводника  $Q_1$  (контур интегрирования по линии  $l = 2$ ) и суммарный заряд для проводников  $Q_\Sigma$  (контур интегрирования по линии  $K/h - 1$ ) определяет собственные емкости  $C_1 = Q_1$  и  $C_2 = Q_\Sigma - C_1$ . Обозначая заряд на первом проводнике  $Q'_1$  при возбуждении  $\varphi_1 = 1$  В и  $\varphi_2 = 0$  В, найдем взаимную емкость  $C_{12} = Q'_1 - C_1$ .

Результаты расчетов первой и четвертой структур даны на рисунке 3. В отсутствии проводника на верхней стороне подложки с  $\varepsilon_2 = \varepsilon$  на рис. За приведены характеристики для копланарной линии (КЛ) и несимметричной копланарной линии (НКЛ) при соотношении зазора к ширине проводника 0,1.

В исходной структуре 4 НКЛ разрез сделан по положительной части оси  $X$ . Модуль  $k = \omega/(\omega - \delta)$ . Анализ показывает, что НКЛ обеспечивает меньшее замедление Т-волны, реализует более высокие волновые сопротивления или при том же сопротивлении имеет меньший зазор. Последнее обстоятельство важно для снижения управляющих напряжений в устройствах с сегнетоэлектрической пленкой.

Наличие ступенчатой кривой  $I(J)$  дает возможность в предположении существова-

ния плоского поля в прямоугольнике оценить емкость одиночной линии методом трапеций, минуя СМ. Для  $\varepsilon = 9,8$  на том же рисунке в виде кружков даны результаты, показывающие близкое совпадение. Кривые рисунка 3, б отражают расчет связанных линий структуры 4 при смещении верхнего проводника шириной  $\omega_2/\omega = 0,5$  на подложке толщиной  $H/\omega = 0,5$  с  $\varepsilon_2 = 9,8$  при  $\delta/\omega = 0,1$ . Емкости, помеченные индексом 0, относятся к случаю с однородным заполнением ( $\varepsilon = 1$ ), необходимому для расчета фазовых скоростей нормальных типов волн.

#### СПИСОК ЛИТЕРАТУРЫ

1. Иоссель Ю. Я., Кочанов Э. С., Струнский М. Г. Расчет электрической емкости. – Л.: Энергия, 1981. 288 с.
2. Бреннер К. Расчет СВЧ интегральных схем с помощью ЭВМ. – Сб. Машинный расчет интегральных схем. – М.: Мир, 1971. 380 с.
3. Вершинин И.М. Комбинированный метод расчета микрополосковых линий передач. Сб. научных статей-Образование, наука и техника, ЮГУ. – Ханты-Мансийск: 2009. 234-237 с.
4. Справочник по специальным функциям. / Под ред. М. Абрамовица, И. Стигана. – М.: Наука, 1979. 832 с.